

УДК 546.97'32'36'57:541.486-163.2

**ВЛИЯНИЕ ПРИРОДЫ ВНЕШНЕСФЕРНОГО КАТИОНА  
НА КРИСТАЛЛИЧЕСКУЮ СТРУКТУРУ СОЛЕЙ АНИОНА  $cis$ -[Rh(NH<sub>3</sub>)<sub>2</sub>(NO<sub>2</sub>)<sub>4</sub>]<sup>-</sup>**

**И.А. Байдина, А.В. Беляев, И.В. Корольков, С.Н. Воробьева**

*Институт неорганической химии им. А.В. Николаева СО РАН, Новосибирск*

E-mail: baidina@niic.nsc.ru

*Статья поступила 30 июля 2012 г.*

Получены и охарактеризованы комплексные соли родия(III) состава  $cis$ -M[Rh(NH<sub>3</sub>)<sub>2</sub>·(NO<sub>2</sub>)<sub>4</sub>]·nH<sub>2</sub>O, где M = K<sup>+</sup>, Cs<sup>+</sup>, Ag<sup>+</sup>, (CH<sub>3</sub>)<sub>4</sub>N<sup>+</sup>. Молекулярная и кристаллическая структуры определены методом РСА.

**Ключевые слова:** родий,  $cis$ -диамминтетранитриты, соли, кристаллическая структура.

Комплексы диамминтетранитритного ряда привлекали внимание исследователей в связи с возможностью получения соединений содержащих координированные молекулы азота. В [1] было сообщено о получении K<sub>2</sub>[Rh<sub>2</sub>(NH<sub>3</sub>)<sub>2</sub>N<sub>2</sub>(NO<sub>2</sub>)<sub>6</sub>(OH)<sub>2</sub>], но структура соединения не была установлена. Монокристаллы, выращенные из раствора этого соединения, при исследовании методом РСА [2] ( $R = 0,123$ ) оказались принадлежащими комплексу  $cis$ -K[Rh(NH<sub>3</sub>)<sub>2</sub>(NO<sub>2</sub>)<sub>4</sub>]. Информацией о синтезе солей с другими катионами и их структурах мы не располагаем.

Целью работы было получение солей аниона  $cis$ -[Rh(NH<sub>3</sub>)<sub>2</sub>(NO<sub>2</sub>)<sub>4</sub>]<sup>-</sup> с катионами калия, цезия, серебра и тетраметиламмония, установление их кристаллических структур и влияния на них природы внешнесферного катиона.

**ЭКСПЕРИМЕНТАЛЬНАЯ ЧАСТЬ**

Синтез K[Rh(NH<sub>3</sub>)<sub>2</sub>(NO<sub>2</sub>)<sub>4</sub>]·0,5H<sub>2</sub>O (**I**) проводили по методике, изложенной в [3]. Потеря массы при 200 °C 2,46 % (теория 2,44 %); химический анализ безводного соединения: вычисленно, % для K[Rh(NH<sub>3</sub>)<sub>2</sub>(NO<sub>2</sub>)<sub>4</sub>] N 23,33, H 1,67. Найдено, % N 23,5, H 1,7. Для получения солей цезия и серебра к насыщенному при комнатной температуре водному раствору соединения **I** по каплям добавляли концентрированные растворы нитратов цезия или серебра до начала помутнения, после чего оставляли на сутки для кристаллизации. Белые кристаллические осадки Cs[Rh(NH<sub>3</sub>)<sub>2</sub>(NO<sub>2</sub>)<sub>4</sub>] (**II**) и Ag[Rh(NH<sub>3</sub>)<sub>2</sub>(NO<sub>2</sub>)<sub>4</sub>]·2H<sub>2</sub>O (**III**) отфильтровывали, промывали дважды водой, затем этанолом и высушивали на воздухе. Поскольку серебряная соль светочувствительна, ее высушивание и хранение осуществляли, применяя защиту от лабораторного освещения. Для получения  $cis$ -(CH<sub>3</sub>)<sub>4</sub>N[Rh(NH<sub>3</sub>)<sub>2</sub>(NO<sub>2</sub>)<sub>4</sub>]·H<sub>2</sub>O (**IV**) к 1 мл насыщенного водного раствора (CH<sub>3</sub>)<sub>4</sub>NNO<sub>3</sub> добавили 1 мл насыщенного водного раствора соединения **I**. Медленное концентрирование раствора при комнатной температуре приводит к образованию кристаллов, пригодных для РСА.

ИК спектры регистрировали на ИК Фурье-спектрометре SCIMITAR FTS 2000 в таблетках KBr в интервале волновых чисел 400—4000 см<sup>-1</sup>.

Рентгенофазовый анализ образцов проведен с помощью дифрактометра ДРОН-3М ( $\text{Cu}K_{\alpha}$ -излучение, Ni-фильтр). Образцы для исследования готовили следующим образом: поликристаллы истирали в агатовой ступке в присутствии гептана; полученную суспензию наносили на полированную сторону стандартной кварцевой кюветы; после испарения гептана образец представлял собой тонкий ровный слой (толщина ~100 мкм). Съемку проводили при комнатной температуре по точкам в интервале  $5\text{--}50^{\circ} 2\theta$ , шаг —  $0,03^{\circ} 2\theta$ , время накопления — 1 с. Дифрактограммы комплексов были проиндексированы по теоретическим дифрактограммам соответствующих монокристаллов.

Исследование монокристаллов проведено на автоматическом дифрактометре X8 APEX BRUKER ( $\text{Mo}K_{\alpha}$ -излучение, графитовый монохроматор, CCD-детектор). Для соединений I, II и III экспериментальные данные получены при комнатной температуре, для IV — при  $150(2)$  К. Кристаллографические характеристики и параметры эксперимента приведены в табл. 1. Структуры решены прямым методом и уточнены в анизотропно-изотропном (для H) приближении, атомы водорода частично локализованы, частично заданы геометрически. Координаты и тепловые параметры атомов в кристаллических структурах соединений I, II и III депонированы в немецком банке неорганических соединений (ICSD № 424969, 424971, 424970). Полные кристаллоструктурные данные для соединения IV депонированы в Кембриджском банке структурных данных под номером 889571. Средние значения основных геометрических характеристик для изученных соединений приведены в табл. 2. Все расчеты проведены по комплексу программ SHELX-97 [4].

### ОПИСАНИЕ КРИСТАЛЛИЧЕСКИХ СТРУКТУР И ВЫВОДЫ

Все соединения, за исключением соли калия, кристаллизуются в моноклинной сингонии. Структурными единицами всех исследованных соединений являются изолированные комплексные анионы родия(III) состава  $[\text{Rh}(\text{NO}_2)_4(\text{NH}_3)_2]^-$ , одновалентные катионы  $M^+$  (где  $M = \text{K}^+, \text{Cs}^+, \text{Ag}^+, (\text{CH}_3)_4\text{N}^+$ ) и молекулы кристаллизационной воды (в состав соединения II молекулы воды не входят). Во всех соединениях атом Rh комплексного аниона координирует две молекулы аммиака и четыре атома N, принадлежащих четырем  $\text{NO}_2$ -группам. В итоге координационные полиэдры Rh — слабо искаженные октаэдры  $[\text{RhN}_6]$ , имеющие *cis*-строение, показанное на рис. 1.

**Структура  $\text{K}[\text{Rh}(\text{NH}_3)_2(\text{NO}_2)_4] \cdot 0,5\text{H}_2\text{O}$  (I).** Строение соединения впервые было исследовано в работе [2] с  $R = 0,123$ . В данной работе мы провели уточнение состава и структуры этой соли. В структуре два кристаллографически независимых комплексных аниона Rh и два катиона калия. Комплексные анионы имеют близкое строение: длины связей  $\text{Rh}-\text{N}_{\text{NO}_2}$  и  $\text{Rh}-\text{N}_{\text{NH}_3}$  меняются в интервалах  $2,018\text{--}2,044$  и  $2,071\text{--}2,086$  Å, отклонения валентных углов от  $90^\circ$  на атомах Rh не превышают  $4,2^\circ$ . В нитро-группах комплексных анионов разброс для связей N—O не превышает 0,032 Å при среднем значении  $1,228$  Å, средняя величина углов O—N—O  $118,6^\circ$ . Плоскости двух нитро-групп, находящихся в *транс*-положении друг к другу, развернуты относительно друг друга

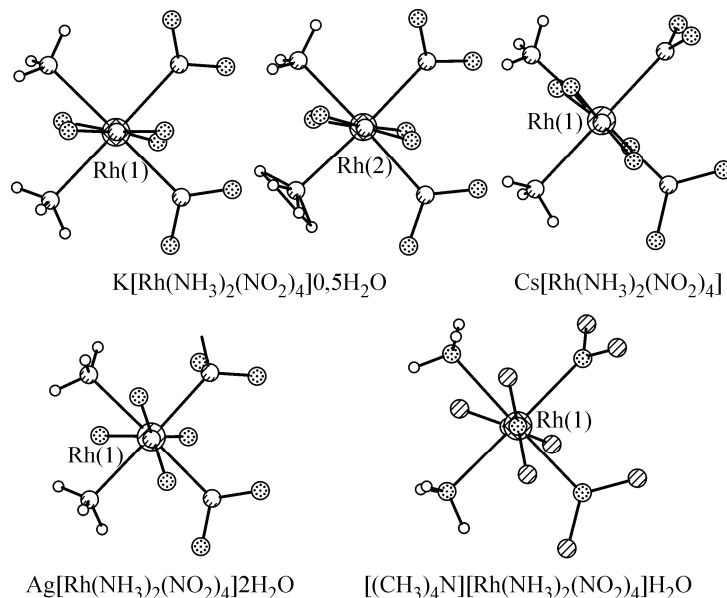


Рис. 1. Молекулярная структура аниона *cis*- $[\text{Rh}(\text{NH}_3)_2(\text{NO}_2)_4]^-$

Таблица 1

Кристаллографические данные и условия дифракционного эксперимента для соединений I, II, III и IV

Комплекс	K[Rh(NH <sub>3</sub> ) <sub>2</sub> (NO <sub>2</sub> ) <sub>4</sub> ] · 0,5H <sub>2</sub> O (I)	Cs[Rh(NH <sub>3</sub> ) <sub>2</sub> (NO <sub>2</sub> ) <sub>4</sub> ] (II)	Ag[Rh(NH <sub>3</sub> ) <sub>2</sub> (NO <sub>2</sub> ) <sub>4</sub> ] · 2H <sub>2</sub> O (III)	(Me <sub>4</sub> N)[Rh(NH <sub>3</sub> ) <sub>2</sub> (NO <sub>2</sub> ) <sub>4</sub> ] · H <sub>2</sub> O (IV)
Стехиометрическая формула	H7 K N6 O8,50 Rh	H6 Cs N6 O8 Rh	H10 Ag N6 O10 Rh	C4 H20 N7 O9 Rh
Молекулярный вес	369,13	453,93	464,92	413,18
Сингония	Триклинная <i>P</i> -1	Моноклинная <i>P</i> 2 <sub>1</sub> / <i>n</i>	Моноклинная <i>P</i> 2 <sub>1</sub> / <i>c</i>	Моноклинная <i>P</i> 2 <sub>1</sub> / <i>n</i>
Пространственная группа				
Параметры ячейки <i>a</i> , <i>b</i> , <i>c</i> , Å; $\alpha$ , $\beta$ , $\gamma$ , град.	7,3956(2), 8,9846(3), 16,4036(6); 90,841(1), 95,345(1), 107,664(1)	9,7831(2), 10,2399(2), 10,7850(2); 90,997(1)	7,3991(6), 12,1122(9), 12,8987(9); 94,321(3)	10,6487(4), 11,6775(4), 12,4625(4); 102,8430(10)
<i>V</i> , Å <sup>3</sup> ; <i>Z</i>	1033,00(6); 4	1080,26(4); 4	1152,69(15); 4	1510,94(9); 4
Плотность (расчетная), г/см <sup>3</sup>	2,373	2,791	2,679	1,816
Коэффициент поглощения, мм <sup>-1</sup>	2,106	4,944	3,192	1,186
<i>F</i> (000)	724	848	896	840
Размер кристалла, мм	0,18×0,12×0,10	0,20×0,07×0,06	0,25×0,07×0,05	0,22×0,16×0,16
Диапазон по $\theta$ , град.	от 2,64 до 32,07	от 2,74 до 33,17	от 2,76 до 32,26	от 2,28 до 33,24
Диапазон <i>h</i> , <i>k</i> , <i>l</i>	$-11 \leq h \leq 11$ , $13 \leq k \leq 13$ , $-24 \leq l \leq 22$	$-15 \leq h \leq 14$ , $-8 \leq k \leq 15$ , $-16 \leq l \leq 15$	$-11 \leq h \leq 11$ , $-18 \leq k \leq 18$ , $-19 \leq l \leq 9$	$-16 \leq h \leq 16$ , $-15 \leq k \leq 17$ , $-17 \leq l \leq 19$
Число измер. / независ. рефлексов	15455 / 7192	12558 / 4117	15374 / 4001	23230 / 5804
Полнота сбора данных по $\theta = 25,25^\circ$ , %	[ <i>R</i> (int) = 0,0269] 99,7	[ <i>R</i> (int) = 0,0283] 99,9	[ <i>R</i> (int) = 0,0415] 99,7	[ <i>R</i> (int) = 0,0181] 99,9
Макс. и мин. пропускание	0,8170 и 0,7030	0,7558 и 0,4380	0,8567 и 0,5025	0,8330 и 0,7804
Метод уточнения	Полноматричный МНК по <i>F</i> <sup>2</sup>			
Число рефлексов / огранич. / параметров	7192 / 3 / 308	4117 / 0 / 170	4001 / 6 / 177	5804 / 0 / 262
<i>S</i> -фактор по <i>F</i> <sup>2</sup>	1,035	1,037	1,056	1,026
<i>R</i> -фактор [ <i>I</i> > 2σ( <i>I</i> )]	<i>R</i> 1 = 0,0213, <i>wR</i> 2 = 0,0534	<i>R</i> 1 = 0,0204, <i>wR</i> 2 = 0,0501	<i>R</i> 1 = 0,0288, <i>wR</i> 2 = 0,0587	<i>R</i> 1 = 0,0183, <i>wR</i> 2 = 0,0443
<i>R</i> -фактор (все данные)	<i>R</i> 1 = 0,0251, <i>wR</i> 2 = 0,0548	<i>R</i> 1 = 0,0236, <i>wR</i> 2 = 0,0513	<i>R</i> 1 = 0,0449, <i>wR</i> 2 = 0,0619	<i>R</i> 1 = 0,0210, <i>wR</i> 2 = 0,0453
Коэффициент экстинкции	0,0029(3)	0,0019(2)		
Макс. и мин. остат. электрон. плотность, е/Å <sup>3</sup>	0,643 и -0,590	1,189 и -1,017	0,883 и -0,836	1,050 и -0,787

Таблица 2

## Основные геометрические характеристики соединений I, II, III и IV

$d, \text{ \AA}$ , $\omega$ , град.	K[Rh(NH <sub>3</sub> ) <sub>2</sub> (NO <sub>2</sub> ) <sub>4</sub> ] · 0,5H <sub>2</sub> O (I)	Cs[Rh(NH <sub>3</sub> ) <sub>2</sub> (NO <sub>2</sub> ) <sub>4</sub> ] (II)	Ag[Rh(NH <sub>3</sub> ) <sub>2</sub> (NO <sub>2</sub> ) <sub>4</sub> ] · 2H <sub>2</sub> O (III)	(Me <sub>4</sub> N)[Rh(NH <sub>3</sub> ) <sub>2</sub> (NO <sub>2</sub> ) <sub>4</sub> ] · H <sub>2</sub> O (IV)
Rh—N(NO <sub>2</sub> )	⟨2,036⟩	⟨2,040⟩	⟨2,043⟩	⟨2,036⟩
Rh—N(NH <sub>3</sub> )	⟨2,079⟩	⟨2,072⟩	⟨2,068⟩	⟨2,071⟩
N—O	⟨1,228⟩	⟨1,221⟩	⟨1,223⟩	⟨1,238⟩
O—N—O	⟨118,6⟩	⟨118,4⟩	⟨117,8⟩	⟨119,3⟩
M—O	2,658—3,214	3,087—3,329, 3,676	2,466—2,868	
⟨KЧ⟩	⟨9, 10⟩	⟨8+1⟩	⟨4+4⟩	
M...M (min)	4,239	5,871	6,891	—
Rh...M	4,420—6,352 (6 расстояний)	4,728—6,876 (8 расстояний)	4,990—5,729 (6 расстояний)	—
Rh...Rh (min)	6,105	6,043	6,452	6,378

на углы 11,3 и 8,6° (для Rh1 и Rh2), плоскости двух других нитро-групп, находящиеся в *транс*-положениях к аммино-группам, образуют между собой углы ~49°. Ближайшие расстояния между центрами комплексных анионов Rh...Rh в структуре лежат внутри интервала значений 6,105—6,622 Å. Окружение двух неэквивалентных катионов калия (9 и 10) образовано атомами кислорода NO<sub>2</sub>-групп. Расстояния K—O лежат в интервале 2,658—3,214 Å. В структуре K-полиэдры имеют общие грани и ребра, три ближайших расстояния K...K 4,239—4,620 Å. Молекулы кристаллизационной воды не участвуют в координации калия, они связаны попарно водородной связью с расстоянием O...O 2,74 Å. Упаковка структурных единиц в кристалле вдоль направления X показана на рис. 2. Можно предполагать, что в кристалле комплексные анионы и молекулы воды объединены еще и системой слабых водородных связей O—H...O и N—H...O, характеризующие эти связи, имеют оценки в интервалах 2,74—2,91 и 3,04—3,25 Å. Полиэдры калия и комплексные анионы родия объединены в структуре с шестью кратчайшими расстояниями Rh...K 4,420—6,352 Å. В целом структура соли калия носит слоистый характер.

**Структура Cs[Rh(NH<sub>3</sub>)<sub>2</sub>(NO<sub>2</sub>)<sub>4</sub>] (II).** В структуре Cs-соли локализованы все атомы водорода. В комплексном анионе средние значения длин связей Rh—N<sub>NO<sub>2</sub></sub> и Rh—N<sub>NH<sub>3</sub></sub> равны соответственно 2,040 и 2,072 Å, разница средних значений составляет 0,032 Å. Валентные углы N—Rh—N отличаются от идеальных 90° не более чем на 1,4°. В нитро-группах связи N—O меняются в интервале 1,189—1,237 (ср. 1,221) Å, среднее значение валентных углов O—N—O составляет 118,4°. Угол между плоскостями двух нитро-групп (N1 и N3), находящихся в *транс*-положении друг к другу, составляет 11°, плоскости двух других нитро-группы (N2 и N4), находящиеся в *транс*-положениях к аммино-группам, образуют с двумя первыми группами и между собой углы близкие к 90° (82—86°). Восемь расстояний Rh...Rh лежат внутри интервала значений 6,043—7,467 Å.

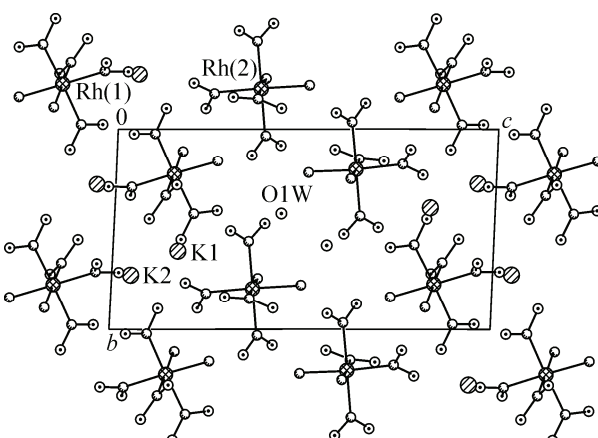


Рис. 2. Упаковка структурных единиц вдоль направления X в соединении K[Rh(NH<sub>3</sub>)<sub>2</sub>(NO<sub>2</sub>)<sub>4</sub>] · 0,5H<sub>2</sub>O

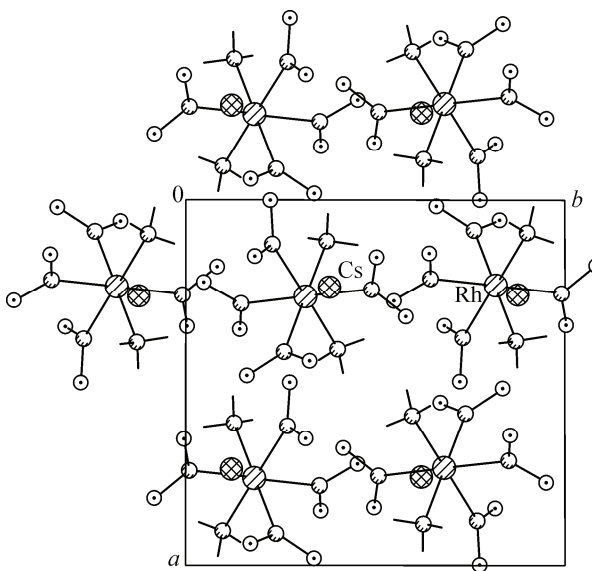


Рис. 3. Упаковка структурных единиц вдоль направления  $Z$  в структуре  $\text{Cs}[\text{Rh}(\text{NH}_3)_2(\text{NO}_2)_4]$

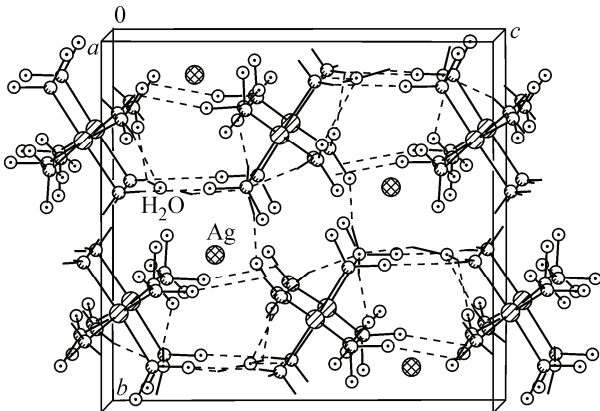


Рис. 4. Упаковка структурных единиц вдоль направления  $Z$  в  $\text{Ag}[\text{Rh}(\text{NH}_3)_2(\text{NO}_2)_4] \cdot 2\text{H}_2\text{O}$

Катион цезия в структуре имеет окружение (8+1), образованное атомами кислорода всех  $\text{NO}_2$ -групп. Расстояния  $\text{Cs}-\text{O}$  колеблются в интервале 3,087—3,329, 3,676 Å (сумма ковалентных радиусов Cs и O составляет 3,43 Å). В структуре Cs-полиэдры имеют общие вершины, кратчайшее расстояние  $\text{Cs} \dots \text{Cs}$  равно 5,871 Å.

Упаковка структурных единиц вдоль направления  $Z$  показана на рис. 3. В кристалле комплексные анионы объединены еще и системой водородных связей  $\text{N}-\text{H} \dots \text{O}$ . Расстояния  $\text{N} \dots \text{O}$  и  $\text{H} \dots \text{O}$ , характеризующие водородные связи, имеют оценки в интервалах 2,80—3,21 и 2,10—2,77 Å соответственно. Полиэдры Cs и комплексные анионы Rh объединены в трехмерный каркас, восемь расстояний  $\text{Rh} \dots \text{Cs}$  лежат внутри интервала значений 4,728—6,876 Å.

**Структура  $\text{Ag}[\text{Rh}(\text{NH}_3)_2(\text{NO}_2)_4] \cdot 2\text{H}_2\text{O}$  (III).** В комплексных анионах  $[\text{Rh}(\text{NH}_3)_2(\text{NO}_2)_4]^-$  средние значения длин связей  $\text{Rh}-\text{N}_{\text{NO}_2}$  и  $\text{Rh}-\text{N}_{\text{NH}_3}$  равны соответственно 2,043 и 2,068 Å, разница средних значений составляет 0,025 Å. Валентные углы  $\text{N}-\text{Rh}-\text{N}$  отличаются от идеальных  $90^\circ$  не более чем на  $3,5^\circ$ . В нитро-группах комплексного аниона связи  $\text{N}-\text{O}$  меняются в узком интервале со средним значением 1,223 Å, среднее значение валентных углов  $\text{O}-\text{N}-\text{O}$  составляет  $117,8^\circ$ . Угол между плоскостями двух нитро-групп (N1 и N3), находящихся в *транс*-положении друг к другу, составляет  $70,8^\circ$ , плоскости нитро-групп (N2 и N4), находящиеся в *транс*-положениях к аммино-группам, образуют между собой угол  $38,5^\circ$ .

Катион серебра в структуре имеет окружение (4+4), образованное атомами кислорода всех  $\text{NO}_2$ -групп, расстояния  $\text{Ag}-\text{O}$  лежат в интервале 2,561—2,868 Å. В структуре Ag-полиэдры имеют общее ребро и образуют псевдодимеры, в которых расстояние  $\text{Ag} \dots \text{Ag}$  равно 3,836 Å. Упаковка структурных единиц вдоль направления  $Z$  показана на рис. 4. Расстояние между атомами кислорода гидратных молекул воды 2,94 Å, а между этими атомами и ближайшими атомами кислорода координированных нитрогрупп 2,82 и 2,96 Å, что позволяет предполагать наличие системы водородных связей в этой структуре.

**Структура  $(\text{CH}_3)_4\text{N}[\text{Rh}(\text{NH}_3)_2(\text{NO}_2)_4] \cdot \text{H}_2\text{O}$  (IV).** В состав соединения входит молекула кристаллизационной воды, в структуре локализованы все атомы водорода. В комплексном анионе средние значения длин связей  $\text{Rh}-\text{N}_{\text{NO}_2}$  и  $\text{Rh}-\text{N}_{\text{NH}_3}$  равны 2,035 и 2,071 Å, разница значений 0,036 Å. Валентные углы  $\text{N}-\text{Rh}-\text{N}$  отличаются от идеальных  $90^\circ$  не более чем на  $3,2^\circ$ . В нитро-группах средние значения длин связей  $\text{N}-\text{O}$  и валентных углов  $\text{O}-\text{N}-\text{O}$  составляют 1,238 Å и  $119,3^\circ$ . Плоскости нитро-групп N(1) и N(3), находящиеся в *транс*-положении друг

Рис. 5. Упаковка структурных единиц вдоль направления  $X$  в соединении  $(\text{CH}_3)_4\text{N}[\text{Rh}(\text{NH}_3)_2(\text{NO}_2)_4] \cdot \text{H}_2\text{O}$

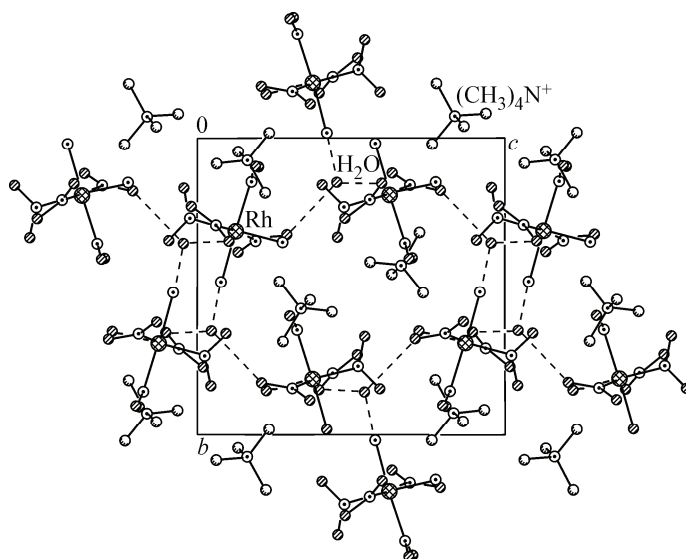
к другу, образуют между собой угол  $58,0^\circ$ . Плоскости двух других нитрогрупп  $\text{N}(2)$  и  $\text{N}(4)$ , находящихся в *цис*-положении, образуют с экваториальной плоскостью  $\text{N}_4$  углы  $71,7$  и  $2^\circ$  соответственно. Внутримолекулярные расстояния  $\text{H} \dots \text{O}$  в комплексном анионе имеют оценки  $\sim 2,26$ — $2,84$  Å.

В катионе тетраметиламмония расстояния  $\text{N}—\text{C}$  близки, их среднее значение составляет  $1,485$  Å, углы на атоме азота меняются в интервале  $106,7$ — $111,5^\circ$ .

Упаковка структурных единиц вдоль направления  $X$  показана на рис. 5. Структурные единицы связаны в кристалле водородными связями. Молекула кристаллизационной воды связывает три комплексных аниона, расстояния, характеризующие связи  $\text{OW} \dots \text{O}$ , составляют  $2,85$  и  $2,89$  Å, расстояние  $\text{OW} \dots \text{N}$  —  $2,90$  ( $2,10$ ) Å. Ближайшие расстояния между центрами комплексных анионов  $\text{Rh} \dots \text{Rh}$  имеют значения  $6,378$  и  $6,602$  Å.

ИК спектры соединений I, II, III однотипны:  $\nu(\text{N}—\text{H})$  три компоненты  $3326$ — $3216$ ,  $\delta(\text{N}—\text{H})$   $1634$ — $1630$ ,  $\nu(\text{N}—\text{O})$  четыре компоненты  $1432$ — $1295$ ,  $\delta(\text{N}—\text{O})$   $625$ — $617$  и  $588$ ,  $\rho(\text{—NO}_2)$   $828$ ,  $\nu(\text{Rh}—\text{NH}_3)$   $470$  (I),  $488$  (II),  $470$  (III),  $\nu(\text{Rh}—\text{NO}_2)$   $391$  (I), (II),  $391$  (III),  $\nu(\text{O}—\text{H})$  гидратной воды  $3593$  (I), отсутствует (II),  $3593$ ,  $3458$  (III) см $^{-1}$ . Спектроскопическое подтверждение наличия системы водородных связей было получено для соединений I и III. Первое соединение можно дегидратировать при температуре  $175$  °C, при этом в ИК спектре исчезает полоса  $3593$  см $^{-1}$ ,  $\nu(\text{N}—\text{H})$  расщепляются  $3338$ ,  $3307$ ,  $3296$  и  $3220$  см $^{-1}$ ,  $\delta(\text{N}—\text{H})$  смещается к  $1626$  см $^{-1}$ , остальные полосы сохраняют свое положение с точностью  $\pm 1$  см $^{-1}$ , как и в ИК спектре гидрата. Такая трансформация спектра позволяет считать, что водородная связь образуется между молекулами гидратной воды и координированными молекулами аммиака. В ИК спектре соединения III имеется широкая полоса в области  $3500$  см $^{-1}$  со слабо выраженным максимумом  $3458$  и  $3593$  см $^{-1}$ , позволяющая считать, что водородная связь образуется между гидратными молекулами воды. Вариация положения полос  $\nu(\text{N}—\text{O})$  при замене катиона не может служить доказательством образования водородной связи, поскольку она вызвана электростатическим взаимодействием катиона с отрицательным концом диполя аниона.

Особенность изученных структур в том, что анион *цис*- $[\text{Rh}(\text{NH}_3)_2(\text{NO}_2)_4]$  $^-$ , благодаря координационным связям лигандов с центральным атомом, является достаточно жесткой структурой. Полученные геометрические характеристики координационного октаэдра близки между собой, длины связей  $\text{Rh}—\text{NO}_2$  во всех соединениях короче связей  $\text{Rh}—\text{NH}_3$  в среднем на  $0,030$  Å, основное различие в строении комплексных анионов заключается в ориентации  $\text{NO}_2$ -групп (см. табл. 2). Комплексный анион обладает дипольным моментом в силу *цис*-конфигурации, при этом отрицательный конец диполя локализуется в области кислородных атомов координированных нитрогрупп. По этой причине положительно заряженные катионы размещаются в структурах солей I, II, III в области координированных нитрогрупп. Взаимное расположение катионов относительно центрального атома родия аниона в рассматриваемых структурах, по нашему мнению, определяется кулоновским взаимодействием отрицательных зарядов на атомах кислорода всех нитрогрупп с положительным зарядом катионов. Это приводит к тому, что в I и II ближайшими к атому родия находятся по два катиона с расстояниями  $4,462$ ,  $5,376$  и  $4,728$ ,  $4,820$  Å соответственно, тогда как в III — четыре катиона с расстояниями  $4,999$ ,  $5,024$ ,



5,095 и 5,133 Å. Различие возникает из-за того, что K<sup>+</sup> и Cs<sup>+</sup> имеют симметричную электронную конфигурацию инертных газов [Ar] и [Xe], тогда как Ag<sup>+</sup> — конфигурацию [Kr]4d<sup>10</sup> с полностью заполненной d-оболочкой. Различная поляризуемость этих катионов является причиной того, что угол между плоскостями нитрогрупп на координате O<sub>2</sub>N—Rh—NO<sub>2</sub> практически одинаков для солей калия и цезия и сильно отличается для соли серебра. В тетраметиламмониевой соли поляризуемость катиона минимальна, поэтому он занимает в структуре особое положение, а в области локализации отрицательного заряда диполя находятся молекулы гидратной воды.

#### СПИСОК ЛИТЕРАТУРЫ

1. Волкова Л.С., Волков М.В., Черников С.С. // Журн. неорган. химии. – 1971. – **16**, № 9. – С. 2594.
2. Алиев З.Г., Атовмян Л.О. // Координац. химия. – 1975. – **1**, № 5. – С. 680.
3. Синтез комплексных соединений металлов платиновой группы (справочник) / Ред. И.И. Черняев. – М.: Наука, 1964.
4. Sheldrick G.M. SHELX-97 and SHELXL. Program for refinement of Crystal Structure. – Germany: University of Gottingen, 1997.